

# 奇质子核 $K = 1/2$ 带的带交叉\*

吴崇试<sup>1)</sup>

(北京大学物理系 北京 100871)

1994-09-28 收稿

## 摘 要

从粒子-转子模型分析了奇  $A$  核  $K = 1/2$  带的带交叉. 脱耦合项的出现可引起回弯频率异常. 在  $[541] \downarrow$  的情况下, 造成的回弯推迟可与实验观测值相比拟.

**关键词** 粒子-转子模型, 带交叉, 回弯频率, 回弯异常, 脱耦合项.

## 1 引 言

稀土区奇质子核  $[541] \downarrow$  转动带的回弯异常现象<sup>[1-3]</sup> 是近年来高自旋态研究的热点之一. 本来, 由于稀土区原子核中的中子和质子填充在不同大壳, 一般认为质子和中子间的相互作用可以忽略, 加之奇质子核的第一带交叉也是由两个  $i_{13/2}$  中子的顺排引起的, 因此可以估计, 奇质子核的  $AB$  交叉频率应该和它邻近的偶偶核相近. 奇质子核的多数转动带的确表现出这种趋势, 它们的回弯频率  $\hbar\omega_c^{(\text{odd})}$  和相邻偶偶核的  $\hbar\omega_c^{(\text{even})}$  一般相差不超过 20keV. 然而, 在  $[541] \downarrow$  转动带中却系统地观测到回弯推迟的现象,  $\hbar\omega_c^{(\text{odd})}$  比  $\hbar\omega_c^{(\text{even})}$  大 30keV 以上, 甚至高达 80keV<sup>[4]</sup>. 对于这一回弯异常的现象, 目前的解释主要有三种. 一是归之于  $[541] \downarrow$  轨道的强烈的形变驱动效应<sup>[3,4]</sup>. 但是, 理论和实验之间存在明显的分歧, 现有的各种理论计算都无法再现这么大的推迟. 而且, 按照这种解释,  $[550] \uparrow$ ,  $[541] \uparrow$ ,  $[660] \uparrow$  等转动带也应该表现出类似的回弯异常, 可是实验上至今并未观测到. 第二种解释是 np 剩余相互作用<sup>[1,5]</sup>. 这方面的工作还基本上停留在实验唯象分析的阶段. 最近, 孙阳等人<sup>[6]</sup> 采用单极对力 + 四极对力 + 四极相互作用, 用角动量投影方法讨论了 Ta 核的回弯异常, 得到了与实验大体一致的趋势. 这个观点的确认还有赖于更广泛更系统的分析, 首先要系统分析四极对力在偶偶核中的影响, 以及在奇质子核不同转动带中的表现. 可以理解, 任何理论上的满意的解释当然都必须阐明  $[541] \downarrow$  轨道区别于其它轨道的独特性质, 但现有的各种解释都没有明确地回答这一问题.

到目前为止, 所有的理论分析都奇怪地忽略掉一个重要的事实:  $[541] \downarrow$  轨道的  $\Omega = 1/2$ , 其转动谱中应出现脱耦合项 (在推转壳模型中, 当然自动包含了这一项). 在现有的实验分析中, 例如由跃迁能量提取转动频率乃至回弯频率时, 也均未考虑脱耦合项的影响. 由于高自旋态的实验分析中, 其基本概念 (如转动惯量、转动频率) 及相应的公式

\* 国家自然科学基金资助.

1) 中国科学院理论物理研究所客座.

都是建立在粒子 - 转子模型基础上的, 故本文也从这一模型出发来分析 [541]↓ 的回弯异常问题. 分析表明, 脱耦合项的出现的确可以产生回弯异常, 就 [541]↓ 带来说, 模型估计值可以与实验观察值相比拟. 这样,  $K \neq 1/2$  的转动带当然就不出现回弯异常. 而且, [541]↓ 轨道的脱耦合常数远远大于其它  $\Omega=1/2$  的单粒子轨道, 因此, [541]↓ 带理所当然地表现出强烈的回弯异常.

## 2 粒子 - 转子模型的分析

实际经验告诉我们, 在粒子 - 转子模型中, 二带交叉的发生对带间相互作用的具体形式并不敏感, 主要取决于混合前两条能级的位置.

对于偶偶核, 其基带和相应的边带能级为

$$E_g(I) = A_g I(I+1), \quad E_s(I) = E_0 + A_s I(I+1),$$

其中  $A_g$  和  $A_s$  为常数 (理想转子),  $A = \hbar^2/2J$ . 发生回弯的必要条件是  $A_g > A_s$ , 即  $J_g < J_s$ . 在带交叉  $I_c^{(\text{even})}$  处,  $E_g(I) = E_s(I)$ , 所以,

$$I_c^{(\text{even})} (I_c^{(\text{even})} + 1) = \frac{E_0}{A_g - A_s}. \quad (1)$$

对于奇  $A$  核的  $K=1/2$  带,

$$\text{“基带”} \quad E_g(I) = A_g \left[ I(I+1) + (-)^{I+1/2} a \left( I + \frac{1}{2} \right) \right],$$

$$\text{边带} \quad E_s(I) = E_0 + A_s I(I+1).$$

$A_g$ ,  $A_s$  及  $E_0$  不妨仍取邻近偶偶核的值. 这里所谓的“基带”和相应的边带, 都是就给定的奇核子组态而言, “基带”本身可以是奇  $A$  核中的激发带. 对于  $I+1/2 = \text{奇数}$  (即 signature  $r = -i$ , 或  $\alpha = 1/2$ ) 的带, 在带交叉  $I_c^{(\text{odd})}$  处,

$$A_g \left[ I_c^{(\text{odd})} (I_c^{(\text{odd})} + 1) - a \left( I_c^{(\text{odd})} + \frac{1}{2} \right) \right] = E_0 + A_s I_c^{(\text{odd})} (I_c^{(\text{odd})} + 1),$$

利用 (1) 式, 并且用  $(I+1/2)^2$  代替  $I(I+1)$ , 则可求得

$$I_c^{(\text{odd})} + \frac{1}{2} = pa + \sqrt{(pa)^2 + \left( I_c^{(\text{even})} + \frac{1}{2} \right)^2}, \quad (2)$$

其中  $p = A_g/2(A_g - A_s)$ . 考虑到在实际情况中,  $I_c^{(\text{even})} \sim 14$ ,

$$\left( I_c^{(\text{even})} + \frac{1}{2} \right)^2 \approx 200 \gg (pa)^2,$$

所以,

$$I_c^{(\text{odd})} + \frac{1}{2} = pa + \left( I_c^{(\text{even})} + \frac{1}{2} \right) \left[ 1 + 2 \left( \frac{pa}{2I_c^{(\text{even})} + 1} \right)^2 \right], \quad (3)$$

$$\Delta I_c \equiv I_c^{(\text{odd})} - I_c^{(\text{even})} = pa + \frac{(pa)^2}{2I_c^{(\text{even})} + 1}. \quad (4)$$

由此可见, 奇质子核的回弯角动量的确不同于邻近的偶偶核. 其差值的大小与脱耦合常数  $a$  密切相关. 如果  $a > 0$ , 则奇质子核的回弯角动量推迟,  $a < 0$  时则提前.  $a$  的绝对值越大, 回弯角动量推迟或提前的数值越大.

在稀土区偶偶核中, 现有的基带和边带的数据表明,  $p$  值一般在 0.7—1.1 之间. 个别核的  $p$  值较大 (即比值  $A_s/A_g \equiv J_g/J_s$  较大), 例如  $^{168}\text{Yb}$  和  $^{174}\text{Hf}$ , 它们的  $p$  值分别为 1.4 和 1.8. 作为一个粗略的估计, 取  $p=0.9$ ,  $I_c^{(\text{even})}=14$ ,

$a$	2	3	4	5	6	7
$\Delta I_c$	1.9	3.0	4.1	5.2	6.4	7.7

考虑到  $[541] \downarrow$  轨道脱耦合常数的实际大小<sup>[7]</sup>, 因此完全可以理解实验中观察到的回弯推迟现象.

现在转换为回弯频率,

$$\hbar\omega = \frac{1}{2} E_\gamma (I \rightarrow I-2), \quad (5)$$

在偶偶核中,

$$\hbar\omega_c^{(\text{even})} = A_g (2I_c^{(\text{even})} - 1), \quad (6)$$

在奇质子核中,

$$\hbar\omega_c^{(\text{odd})} = A_g [(2I_c^{(\text{odd})} - 1) - a], \quad (7)$$

所以,

$$\begin{aligned} \Delta\hbar\omega_c &= A_g (2\Delta I_c - a) \\ &= A_g \left[ (2p-1)a + \frac{2(pa)^2}{2I_c^{(\text{even})} + 1} \right]. \end{aligned} \quad (8)$$

我们看到, 在  $\Delta\hbar\omega_c$  中有两项. 一项  $(-A_g a)$  来自  $\gamma$  跃迁能量中直接与脱耦合常数  $a$  有关. 另一项  $(2A_g \Delta I_c)$  则是来自脱耦合项而引起回弯角动量的变化. 这两项的作用相反: 当  $a > 0$  时, 前者使回弯频率减小, 后者使回弯频率增大. 但后者的数值更大, 因此当  $a > 0$  时表现为回弯推迟. 前一项是人们容易认识到的, 后一项却往往会被忽略掉. 这可能正是人们没能正确理解回弯推迟的原因所在.

作为一个量级的估计, 取  $A_g = 15\text{keV}$ ,  $p=0.9$ ,  $a=4$ ,  $I_c^{(\text{even})}=14$ , 就可以得到  $\Delta\hbar\omega_c = 61\text{keV}$ . 这接近于  $^{167}\text{Lu}$  中  $\Delta\hbar\omega_c$  的大小 ( $68\text{keV}$ <sup>[4]</sup>).

综上所述, 我们看到, 采用粒子-转子模型可以自然地解释在奇质子核中观测到的回弯推迟现象. 即使假定奇  $Z$  核和偶偶  $Z-1$  核的形变及转动惯量均完全相同, 由于脱耦合项的存在, 即可造成回弯角动量或回弯频率的明显变化. 回弯角动量或回弯频率增大或减小 (回弯推迟或提前) 取决于脱耦合常数  $a$  的符号. 对于 signature  $r = -i$  (即  $\alpha = 1/2$ ) 的转动带,  $a > 0$  时回弯推迟,  $a < 0$  时回弯提前.  $a$  的绝对值越大, 回弯角动量

或回弯频率的改变量越大.

为什么目前只在奇质子核的  $[541]\downarrow$  带中才能观测到明显的回弯推迟? 这可以从脱耦合常数的大小 (见文献 [7]) 得到解释. 在现有的奇质子核中,  $[541]\downarrow$  态的脱耦合常数最大! 至于  $K \neq 1/2$  的转动带, 当然不会出现回弯异常的现象.

### 3 讨 论

在以上的模型讨论中, 采用了一定的简化. 首先, 采用了纯转子的能级公式. 这是为了得到简单的解析结果. 在应用于实际核时, 总要考虑振动修正乃至更高级的修正. 这样, 原则上可以重复上面的讨论, 但难以得到一个比较简单的解析表达式. 而且, 在讨论具体核时, 还必须同时考虑其它可能的因素, 包括对力的减弱和可能存在的 np 关联.

上面的分析中, 还假定奇  $Z$  核的转动惯量与相邻偶偶核的完全相同, 这更是一个非常苛刻的条件. 这既要求  $[541]\downarrow$  带和相邻偶偶核的基带是一对全同带, 而且还要求它们的边带也是全同带. 大量的情况是奇  $Z$  核的转动惯量和偶偶核的并不相同. 这既反映了奇质子对转动惯量应有所贡献, 也可能反映了奇核子的极化效应: 奇核子的出现, 使得原子核的形状发生变化, 尤其是当奇质子填充在  $[541]\downarrow$  这样具有强烈形变驱动效应的轨道上时. 这样, 由于脱耦合项的出现以及转动惯量 (及其随角动量的变化) 改变这两个因素同时存在, 它们的影响互相加强或抵消, 就使得奇质子核  $[541]\downarrow$  带的回弯频率异常的幅度更加增大或反而减小.

其次, 关于脱耦合常数  $a$  的大小. 我们可以从形变核能级的实验数据定出. 可是, 根据 Nilsson 模型, 对于单粒子态  $\chi_\alpha = \sum_j c_j \chi'_\alpha$ , 脱耦合常数为

$$a = \sum_j (-)^{j-1/2} \left( j + \frac{1}{2} \right) |c_j|^2 \delta_{\alpha, 1/2}$$

对于稀土区奇质子核的  $[541]\downarrow$  带, 若形变取为  $\varepsilon_2 = 0.2 - 0.3$ ,  $\varepsilon_4 = 0 - 0.03$ , 则 Nilsson 模型给出的  $a = 3.15 - 4.65$ . 而且, 对于  $N = 5$  壳的轨道,  $j$  最大只能为  $11/2$  或  $9/2$ , 故  $5.0 < a < -6.0$ . 由图 1 可见, Tm 和 Lu 核的实验值落在 Nilsson 模型给出的范围内, 但多数 Ta 和 Re 核的实验值均超出这个范围, 甚至大于理论所允许的上限 5.0. 理论和实验之间形成了尖锐的矛盾. 为了克服这个矛盾, 势必要在粒子-转子模型的哈密顿量中引入奇质子和偶偶核心之间的剩余相互作用, 例如  $\hat{j} \cdot \hat{I}$  型的耦合项.

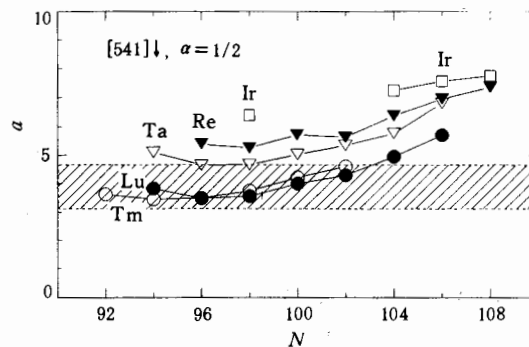


图 1 由奇质子核  $[541]\downarrow$  带的实验能谱定出的脱耦合常数  $a$  随中子数  $N$  的变化. 斜线标出 Nilsson 模型计算值 ( $\varepsilon_2 = 0.2 - 0.3$ ,  $\varepsilon_4 = 0 - 0.003$ ) 的范围.

最后还需要提到,目前在原子核高自旋态的研究中,广泛采用了转动频率的概念.本文也沿用了由跃迁能量提取转动频率的流行做法,即采用公式(5).这是从刚体转动的经典类比中推出的.但是严格说来,对于  $K=1/2$  带,这个关系是值得商榷的.这是因为  $K=1/2$  带的能谱公式中存在脱耦合项,这完全是由波函数对称性导致的量子力学效应,不存在相应的经典类比.因而在由跃迁能量提取转动频率时,似应扣除脱耦合项的贡献,由跃迁能量中纯转动部分的贡献来计算.这从物理上看来似乎更加合理.

以上有关的讨论都是限于  $I+1/2=$  奇数 (signature  $r=-i$  或  $\alpha=1/2$ ) 的带.若  $I+1/2=$  偶数 (signature  $r=+i$  或  $\alpha=-1/2$ ), 上述讨论仍然适用,只要将(4)和(8)式中的脱耦合常数  $a$  换成  $-a$  即可.这时,  $[541]_{\downarrow}$  带应表现为回弯提前.这还有待实验证实.

作者感谢和胡济民先生及杨春祥教授的讨论.

### 参 考 文 献

- [1] H. Carlsson et al., *Nucl. Phys.*, **A551** (1993) 295.
- [2] S. G. Li et al., *Nucl. Phys.*, **A555** (1993) 435.
- [3] S. Ogaza et al., *Nucl. Phys.*, **A559** (1993) 100.
- [4] C. X. Yang et al., *Chin. J. Nucl. Phys.*, **16** (1994) 223.
- [5] C. X. Yang, S. G. Li, X. A. Liu, *Chin. J. Nucl. Phys.*, **16** (1994) 217.
- [6] Y. Sun, S. Wen, D. H. Feng, *Phys. Rev. Lett.*, **72** (1994) 3483.
- [7] A. K. Jain, R. K. Sheline, P. C. Sood, et al. *Rev. Mod. Phys.*, **62** (1990) 393.

## Bandcrossing of $K=1/2$ Bands in Odd-Proton Nuclei

Wu Chongshi

(Department of Physics, Peking University, Beijing 100871)

Received 28 September 1994

### Abstract

The bandcrossing in the  $K=1/2$  bands of odd- $A$  nuclei was discussed in the particle-rotor model. The decoupling term in the rotational energy expression has a remarkable effect on the backbending frequency, which, in the band built on the  $[541]_{\downarrow}$  orbital, leads to a bandcrossing delay comparable with the observations.

**Key words** particle-rotor model, bandcrossing, backbending frequency, backbending anomaly, decoupling term.